

## 500MHz 相位声学 显微镜的研究

吴小鸣 陈戈林 张克潜 (清华大学无线电电子学系) 1985年7月29日收到

本文描述了 500MHz 相位声学显微镜的研制工作。 介绍了鉴相器的工作原理和设计方法。 该机采用双接收机混频产生参考信号,用机械扫描传感信号抵消样品信号中的干扰。实验结果证明方案是可行的。作者还指出该鉴相器得到样品频率像的可能性。

## 一、引言

声学显微镜是七十年代出现的一种新型显微镜<sup>11</sup>。当人射声波是等幅单频连续波时,从样品反射或透射的声波是调幅调相波。调制系数取决于样品声学性质。人们可用幅度解调得到样品的幅度像,也可通过相位解调得到样品的声学相位像。过去多采用前一方案<sup>12</sup>,仅有少数学者作过相位检测工作<sup>13-41</sup>。实际上,后者有着下述突出优点,值得予以重视。

1. 可观察幅度像反差小、相位像反差大的 样品; 2. 具有较高的纵向分辨率和信噪比; 3. 和幅度像配合,可得到样品全部声学信息。

此外,这种相位测试系统不仅可用于声学显微镜,也适用于一般的相位测试装置。

## 二、透射式相位声学显微镜的设计

# 1. 相位声学显微镜(简称 SAM) 成像原理

透射式 SAM 成像原理如图 1 所示。显示器的亮度函数 u, 可表示为<sup>i51</sup>

$$u_d(x_d/M, y_d/M)$$

$$= \int_{-\infty}^{\infty} h(x_s - x, y_s - y) \iota_0(x, y)$$

$$\times dxdy$$
(1)

式中 h 是声成像系统的点扩散函数<sup>[6]</sup>, to 是样品的透射系数.通过幅度解调,得到样品的幅

度像 u₄.

$$u_A(x_a/M, y_a/M) = |u_A(x_a/M, y_a/M)|$$
 (2)

通过相位解调,可得相位像 uf.

$$u_F(x_d/M, y_d/M) = \text{Arg} \left[ u_d(x_d/M, y_d/M) \right]$$
 (3)

理想的点扩散函数  $h(x,y) = \delta(x,y)$ , 则

$$u_A(x_d/M, y_d/M) = |t_0(x, y)|$$
  
$$u_F(x_d/M, y_d/M) = \text{Arg}[t_0(x, y)].$$

由上可知, SAM 接收声透镜输出电平中包含了样品的幅度和相位两种信息。幅度 SAM 仅利用了幅度信息。本文的目的是建立一套相位测试系统,检测相位信息,获得样品的相价图像。

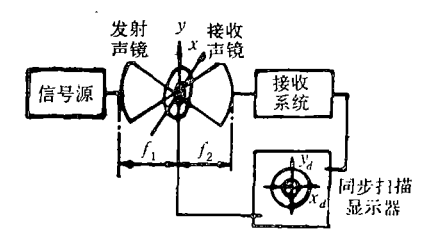


图 1 透射式 SAM 成像原理图

### 2. 相位 SAM 电路设计要点

相位 SAM 的主要特点是利用信号中相位信息获得图像。 其余部分和幅度 SAM 相同,此处不再重复<sup>[6]</sup>。 下面仅叙述相位测试部件设计要点。

(1) 用鉴相器测量相位; (2) 消除接收声 透镜输出信号幅度变化的影响,得到样品的

° 10 °

6. 卷 3 期

"纯"相位像;(3)消除信号源频率不稳定的影响;(4)提高输出信号的信噪比。

#### 3. 信号源和参考信号源

为消除信号源频率漂移的影响,信号源和参考信号源设置如图 2. 信号源 I 输出信号经定向耦合器到发射声透镜,声波经样品到接收声透镜,输出信号经放大器 I 和接收机 I 放大。将接收机 I 输出的中频(30MHz)样品信号送人鉴相器。再由信号发生器 I、II 及接收机 II 得到另一路 30MHz 参考信号。由于样品信号和参考信号由同样两个信号源混频产生,因此频率完全相同,消除了信号源不稳定的影响。可以利用稳定度较低的设备得到精度较高的结果。

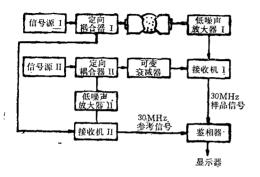
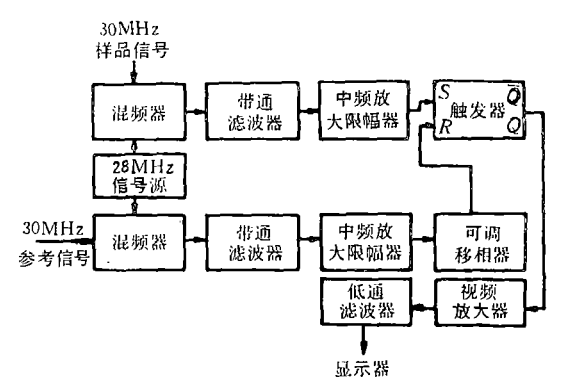


图 2 相位 SAM 电路原理图

### 4. 鉴相器的设计

鉴相器是系统的核心,必须精心设计。 工作原理如图 3. 相位 SAM 中,经过样品的信号是个调幅调相信号。为消除幅度调制对相位测试的影响,把 30 MHz 样品信号和参考信号再次混频,得到  $\omega_r/2\pi=2 \text{MHz}$  的样品信号和参考信号。再进行放大限幅,得到矩形脉冲位置调制信号(PPM)和一列位置固定的脉冲。把 PPM 信号和参考脉冲送人脉冲上升沿R-S 触发器,得到脉冲宽度调制信号(PDM)。PDM 信号的脉冲宽度和样品信号的相位变化 $\varphi(\iota)$  成正比。 PDM 信号通过低通滤波器便得到样品的相位信息。

PPM 信号脉冲宽度  $r = \pi/\omega_s$ ,幅度为士 $A_0$ 。脉冲时间位置  $t_k = k \frac{2\pi}{\omega_s} + \frac{\varphi(t)}{\omega_s}$ , k 为整



数, φ(t) 是样品信号的相位调制。 上信号可 表示为<sup>(r)</sup>

$$S_{\text{PPM}}(t) = \frac{A_0}{\omega_s} \frac{d\varphi(t)}{dt} \left\{ 1 + 2 \sum_{k=1}^{\infty} \times \cos\left[k\omega_s t - k\varphi(t)\right] \right\}$$
 (4)

PDM 信号的脉冲宽度  $\tau = \frac{\pi}{\omega_s} + \frac{\varphi(t)}{\omega_s}$ ,幅度为  $\pm A_0$ , PDM 信号可表示为

$$S_{\text{PDM}}(t) = \frac{A_0 \varphi(t)}{\pi} + \frac{2A_0}{\pi} \sum_{k=1}^{\infty} \frac{1}{k}$$

$$\times \left[ \sin k \omega_s \left( t + \frac{\varphi(t) + \pi}{4\omega_s} \right) - \sin k \omega_s \left( t - \frac{\varphi(t) + \pi}{4\omega_s} \right) \right]$$
(5)

PDM 信号中包括了样品相位信号成份  $A_0\varphi(t)/\pi$ , 及以  $k\omega$ , 为中心频率的高频分量。由于  $\omega$ , 大大高于样品相位信号  $\varphi(t)$  的频率上限  $\omega_m$ , 只要把 PDM 信号通过低通滤波器,就可得到样品相位信号  $A_0\varphi(t)/\pi$ 。再用可调移相器调整参考信号相位,使相位信号  $\varphi(t)=0$  时鉴相器输出为零。

鉴相器中滤波器对信号保真、提高信噪比 十分重要,必须正确设计。下面介绍设计依据。

当 SAM 在行扫描时, y 为常数, (1) 式简 化为

$$u_d(x_d/M) = h(x_s) * t_0(x)$$
 (6) 傅里叶变换后化为  $F[u_d(x_d/M)] = F[h(x_s)]$  ·  $F[t_0(x)]$  . 若声透镜的传递函数  $H(\omega_x) = F[h(x_s)]$  的空间频率带宽为  $B$  , 则  $F[u_d(x_d/M)]$ 

应用声学 • 11 •

M)] 的带宽小于 B. 当 SAM 行扫描速度为  $U_R$ . 得

$$u_{d}(x_{s})|_{x_{s}=U_{F}\cdot t} = u_{d}(U_{F}\cdot t)$$

$$F[u_{d}(U_{F}t)] = \frac{1}{U_{F}}F[u_{d}(x_{s})]|_{\omega_{x}=\omega_{t}/U_{F}}$$
(7)

上式中  $\omega_x$  是空域圆频率; $\omega_r$  一一时域圆频率; $U_F$  一 SAM 行扫描速度。上式说明  $u_a$  的空域和时域频率特性相似。两频率间的关系为

$$\omega_t = U_F \omega_x \tag{8}$$

根据上式,可由信号空域频带宽度估算其时域频带宽度。 由于  $\omega_x \leq 2\pi B$ ,则  $\omega_t \leq 2\pi U_F B$ ,故  $f_m \leq U_F B$ 。若 SAM 行扫描频率为  $f_F$ 、扫描幅值为 A,则可得

$$f_m \leqslant BAf_F \tag{9}$$

如一个玻璃金属球面换能器型声透镜  $B=0.766/\lambda$ . 当  $f=500 \mathrm{MHz}$ ,  $\lambda=3\mu m$ ,  $A=100\mu m$ ,  $f_F=300 \mathrm{Hz}$  时,则  $f_m \leq 7.7 \mathrm{kHz}$ . 鉴相器的低通滤波器的通带为 0—7.7 kHz,带通滤波器中心频率为  $\omega_s/2\pi=2 \mathrm{MHz}$ ,带宽为  $2f_m=15.4 \mathrm{kHz}$ .

由 (4) 式知,PPM 信号和样品信息  $d\varphi/dt$  有关。 我们可直接利用 PPM 信号得到样品的声学相位变化(或频率)像。

## 5. SAM 中声透镜轴向振动的影响和消除

在 SAM 中,声透镜间或样品与声透镜间的距离常有微小变化  $\Delta$ . 这会影响所得样品信号的幅度和相位。  $\Delta$  通常为微米量级,对频率较低的 SAM 影响很小。 但对高频 SAM,特别是相位 SAM,影响较大。 即使  $\Delta < \lambda$ ,其影响也十分严重。 若不消除,难以得到高质量的图像。 而一般防震方法 难以 奏效。 如 500 MHz SAM, $\lambda = 3\mu$ m. 若要使  $\Delta$  造成的干扰小于  $1^\circ$ ,则要求  $\Delta < 80$  Å。 这是无法实现的。国外学者提出用微分相位对比法解决 这个问题 [8]。 在高频 SAM 中,这种方案难于实现。 我们建议采用下述方法解决这个问题。

实际上,声透镜轴向振动是外界干扰和扫描装置造成的.可用性能良好的防震底座消除外界扰动.机械扫描装置的影响,可用下述电

路消除。鉴相器输出电压中有机械扫描干扰。 我们从扫描位置传感器输出电压中取出一部 分,去抵消上述干扰。

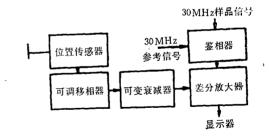


图 4 补偿声透镜轴向振动影响电路图

### 三、实验结果

制作出整套装置,仔细调整鉴相器到设计状态后,作了一系列实验.

### 1. 声透镜间声场轴向分布曲线测量.

在 SAM 的两个声透镜间不放样品。将二

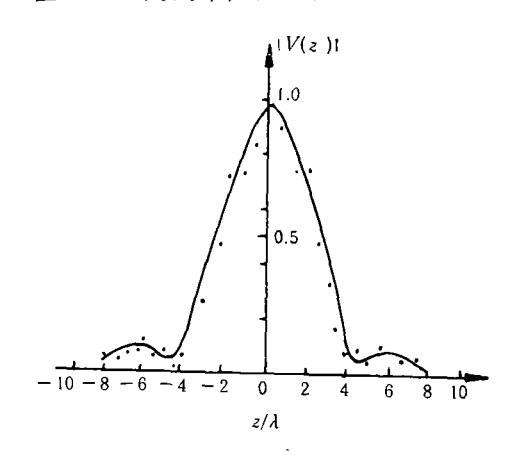


图 5 声场幅值分布曲线

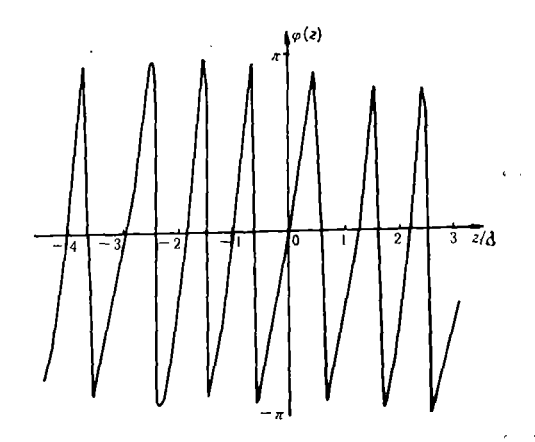


图 6 声场相位分布曲线

6 卷 3 期

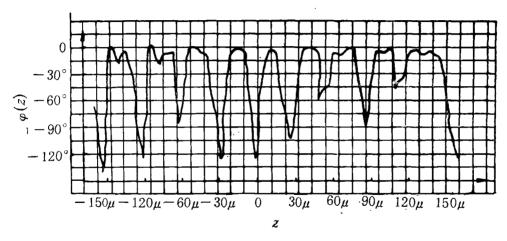


图 7 网络一维扫描时相位信号

声透镜调至同轴共焦后,将一声透镜沿轴向移动,测出输出电压与两声透镜焦平面间距离 Z 的关系<sup>[57]</sup>。 我们测出了声场幅值分布曲线,见图 5;也测出了相位分布曲线,见图 6.

由图可知,声场幅值变化比较缓慢,相位分布变化较快,空间周期约为水中声波波长. 当声透镜间距离变化 61 时,声场幅值变化一倍,而相位变化高达 2160°. 这说明相位 SAM 的轴向分辨率比幅度 SAM 高得多.

### 2. 相位 SAM 的成像特性

我们用相位 SAM 观察了一些样品。例如观察了一个 860 目网格。用 x-y 记录仪记下一维扫描时样品相位信号,如图 7 所示。也得到网格的二维图像,如图 8。

关于相位 SAM 的应用及与幅度 SAM 成像特性的详细比较,将在另外文章中专门叙述。

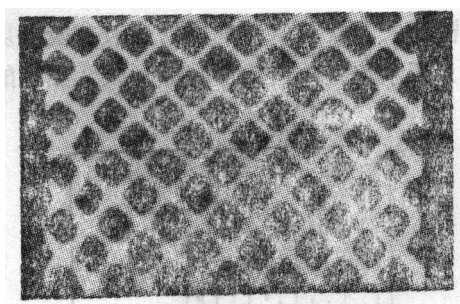


图 8 网格二维图像

## 四、结论

应用声学

我们研制了一套相位 SAM 系统。采用的

办法是把接收声透镜输出调幅调相信号放大限幅,变成 PPM 信号,再通过上升沿 R-S 触发器变成 PDM 信号,在滤波后可得样品的相位信号及相位图像。 为减小信号源不稳定 的影响,用双接收机形成参考信号。 为消除声透镜轴向振动的影响,用扫描传感信号去抵消样品信号中的干扰分量。

实验证明方案是可行的,也表明相位 SAM 具有较高的纵向分辨率。它可以灵 敏 地 检 测 "位相物体"的相移分布,也可检测微小的高度 变化。

作者在工作中得到李德杰、罗淑云、胡思正 等同志的大力帮助,在此谨致谢意。

### 参考文献

- [1] Lemons, R. A., C. F. Quate, Appl. Phys. Lett., 24-3 (1974), 163.
- [2] 中鉢憲賢,日本音響学会誌,39-9(昭和58年),75.
- [3] Atalar, A., C. F. Quate and H. K. Wickramasinghe, Appl. phys. Lett., 31-12 (1977), 791.
- [4] Bennett, S. D., E. A. Ash, IEEE Transa. on Sonies and Ultrasonies 28-2 (1981), 59.
- [5] Wickramasinghe, H. K., J. Appl. Phys., 50-2 (1979), 664.
- [6] 陈戈林等,应用科学学报,2-4(1984),310.
- [7] 张树京,通信系统原理,中国铁道出版社,1981,206.
- [8] Smith, I. R., H. K. Wickramasinghe, Electronics Lett., 18-2(1982), 92.
- [9] 李德杰等, 应用科学学报, 2-4(1984), 322.

**\* 13 •**